



مجله علوم و صنایع غذایی ایران

سایت مجله: www.fsct.modares.ac.ir

مقاله علمی پژوهشی

بررسی خواص آنتی اکسیدانی و عملکردی کلاژن و کلاژن هیدرولیز شده از پوست ماهی هامور

(*Epinephelus coioides*)

رضوان موسوی ندوشن^{۱*}، فاطمه عسگری مهرآبادی^۲

۱- دانشیار گروه علوم و صنایع غذایی، واحد تهران شمال، دانشگاه آزاد اسلامی، تهران، ایران.

۲- کارشناس ارشد گروه علوم و صنایع غذایی، واحد تهران شمال، دانشگاه آزاد اسلامی، تهران، ایران.

اطلاعات مقاله	چکیده
<p>تاریخ های مقاله :</p> <p>تاریخ دریافت: ۱۳۹۹/۰۲/۱۵</p> <p>تاریخ پذیرش: ۱۴۰۰/۱۱/۰۵</p> <p>کلمات کلیدی:</p> <p>کلاژن، پوست، ماهی هامور معمولی (<i>Epinephelus coioides</i>)، خواص آنتی اکسیدانی، خواص عملکردی، کلاژن هیدرولیز شده.</p> <p>*مسئول مکاتبات: mousavi.nadushan@gmail.com</p>	<p>کلاژن فراوان ترین پروتئین با منشأ حیوانی و مهم ترین ترکیب ساختمانی بافت پیوندی است که در صنعت غذا و نوشیدنی مورد استفاده قرار می‌گیرد. علاوه بر این تحقیقات اخیر ویژگیهای عملکردی، فراسودمند و پتانسیل مصرف کلاژن استخراج شده از ضایعات آبزیان را در قالب غذا-دارو و سامانه های رسانش ترکیبات حساس زیست فعال به اثبات رسانده است. لذا هدف از این تحقیق بررسی ویژگی های ساختاری، خواص آنتی اکسیدانی و عملکردی در کلاژن و کلاژن هیدرولیز شده از پوست ماهی هامور معمولی (Epinephelus coioides) قرار داده شد. در این تحقیق کلاژن به روش اسیدی و آنزیمی استخراج و سپس کلاژن های استخراج شده توسط آنزیم پیسین هیدرولیز گردید. ویژگیهای ساختاری آنها به وسیله طیف‌سنجی مادون‌قرمز تبدیل فوریه (FTIR)، میکروسکوپ الکترونی (SEM) و الکتروفوروز ژل پلی اکریل آمید (SDS-PAGE) بررسی شد. همچنین ویژگیهای عملکردی شامل قدرت مهار کنندگی رادیکال DPPH قدرت کاهنده‌گی و میزان تولید، خصوصیات و پایداری کف حاصل از کلاژن و کلاژن هیدرولیز شده مورد ارزیابی قرار گرفت. تصاویر میکروسکوپ الکترونی نشانگر ساختار حفاظت شده ورقه ای؛ فیبریلی و ساختار فضایی دوم و سوم بوده، شبکه ماتریکس از منافذ متعدد شکل تشکیل شده، در طیف‌سنجی مادون‌قرمز (FTIR) حضور گروه های عاملی شاخص در کلاژن نوع I مشتمل بر پیوندهای آمید A و B همچنین امیدهای نوع II و III به اثبات رسید. نتایج بدست آمده در مورد خواص عملکردی، کلاژن پوست ماهی هامور نیز نشان داد که با افزایش غلظت، و بویژه در کلاژن هیدرولیز شده قدرت کاهنده‌گی و توانایی مهار رادیکال DPPH افزایش پیدا کرده، همچنین بررسی کلاژن و نمونه هیدرولیز شده نشان داد که تنها کلاژن پوست ماهی هامور پتانسیل تولید کفت دارد. در نهایت می توان گفت کلاژن و کلاژن هیدرولیز و استخراج شده از پوست ماهی هامور به عنوان یک ماهی پرمصرف دریایی با خواص آنتی اکسیدانی مطلوب، و ویژگیهای عملکردی مناسب میتواند در مقیاس انبوه تولید و به عنوان یک ترکیب زیست فعال و امولسیفایر در صنعت غذا و در تولید محصولات فراسودمند مورد استفاده قرار گیرد.</p>

۱- مقدمه

مربوط می شود. و محور دوم، در رابطه با کاربرد ژل در تولید امولسیون، تشکیل کفت، ثبیت، چسبندگی و پیوستگی، عملکرد نگهدارنده در کلولید و ظرفیت تشکیل فیلم با توجه به خواص مرتبط با رفتار سطحی پروتئین کلاژن است[۷]. Wu و همکاران [۸] پژوهشی با عنوان اسید امینه های ازاد و پیتید های مرتبط با خواص آنتی اکسیدانی پروتئین های هیدرولیز شده از ماهی ماکرل خال خالی (*scomber austriasicus*) انجام دادند. روش های مختلف سنجه قدرت آنتی اکسیدانی از جمله: بهار اکسایش خود به خودی اسید لیتوئیک، اثرمهارکنندگی بروی رادیکال از a,a-dipH enyl-b-picrylhydrazyl و قدرت کاهنده نشان داد که پیتیدهای هیدرولیز شده این ماهی از قدرت آنتی اکسیدانی قابل توجهی پرخوردار است. همچنین بین مقدار پیتید ها و فعالیت آنتی اکسیدانی رابطه مثبت وجود داشت. نتایج بررسی بر روی بخش های پیتیدی خالص سازی شده توسط کروماتوگرافی وزنی نشان داد که در شرایط ازمایشگاهی پیتید هایی با وزن ملکولی حدود ۱۴۰۰ دالتون از نظر فعالیت آنتی اکسیدانی، قوی تر از پیتید هایی با وزن ملکولی ۲۰۰ و ۹۰۰ دالتون هستند.

وازکوثر و همکاران [۹] خواص عملکردی و آنتی اکسیدانی پروتئین هیدرولیز شده ماهی قزل الای رنگین کمان توسط سه نوع آنزیم (فلاورزایم، پاپائین، پیسین) را مورد بررسی قرار دادند. انها دریافتند که پروتئین هیدرولیز شده با پیسین بیشترین قدرت مهار رادیکال DPPH و کاهنده یون فریک را دارد. همچنین پاپائین امولسیونی پروتئین هیدرولیز شده با فلاورزایم در pH های بررسی شده به طور معناداری بالاتر از دو پروتئین دیگر بود. Wang و همکاران [۱۰] نیز تحقیقاتی در زمینه پیتید های آنتی اکسیدانی حاصل از پروتئین هیدرولیز شده صدف خواراکی (*Crassostrea talienwhanensis*) انجام دادند. لین و همکاران [۱۱] پژوهشی تحت عنوان جداسازی و شناسایی کلاژن از پروتئین هامور غول پیکر (Epinephelus lanceolatus, giant grouper) انجام دادند. نتایج پژوهش آنها نشان داد که ASC و PSC شامل دو زنجیره متغیر a₁ و a₂ بودند و ساختار کلاژن نوع I توسط باند دی سولفید مشخص شد. این پروتئین اسید موجود در

سیر رو به رشد جمعیت جهان و کمبود مواد غذایی بهویژه پروتئین سبب توجه و پژوهه محققین علوم تغذیه به منابع دریابی شده است. ضایعات فراوری ماهی شامل سر، پوست، فلس و اعاء و احتشاء داخلی حدود 60 درصد از کل وزن ماهیان را تشکیل می دهند و پس از فرآوری و تولید فیله دورریز می شوند. این درحالی است که این ضایعات حاوی مقادیر بالایی پروتئین و بویژه کلاژن هستند. کلاژن بخش عمده ای از باغت های پیوندی شامل پوست، استخوان، غضروف، تاندون و سلولهای خونی را تشکیل می دهد [۱]، همچنین در تشکیل شبکه های فیبریلی و میکروفیبریلی ماتریکس خارج سلولی و غشاءای زیرین شرکت دارد. کلاژن دارای مقدار زیادی اسید آمینه های گوگرد دارد. ژلاتین در واقع مقدار اندکی اسید آمینه های گوگرد دارد. ژلاتین در فرم دناتوره شده کلاژن است که وزن مولکولی کمتری نسبت به کلاژن دارد و نیز مخلوطی از پیتیدها و پروتئین هاست که توسط هیدرولیز جزئی کلاژن ساخته می شود [۲]. کلاژن با وجود خواصی چون آنتالپی بالا، ساختار شبکه ای و فیبریل های بزرگ تر، نقطه ایزو الکتریک پایه و مقاومت در برابر هیدرولیز توسط پروتئاز نسبت به ژلاتین ارجحیت دارد [۳]. همچنین مارپیچ های سگانه و شبکه های فیبریلی موجود در کلاژن ممکن تر است و قدرت مکانیکی و قابلیت برگشت پذیری بهتری دارد در حالی که ژلاتین در توصیف خواص رثولوژیک مانند استحکام ژل، ثبات حرارتی و خواص ویسکوالاستیک منحصر به فرد است [۴]. در حال حاضر منابع اصلی استخراج کلاژن ضایعات حیواناتی چون گاو، خوک، مرغ و همچنین پوست، فلس و استخوان ماهی است. اما با توجه به اختلال شیوع بیماری های چون جنون گاوی و همچنین محدودیت های اسلام در مصرف کلاژن حاصل از ضایعات خوک یا دام های حلال گوشتی که ذبح شرعی ندارند توجه محققین به تویید و تحقیق در زمینه کلاژن توییل شده از آبزیان معطوف گردیده است [۵] و [۶] بر اساس نظرات گومز-گلین و با توجه به خواص زیست فعل کلاژن، موارد استفاده از کلاژن در غذا به صورت افزودنی و مکمل های غذایی، می تواند به دو شکل محدود شود. اولین کروه به کاربردهای کلاژن براساس خواص مرتبط با تولید الگوی شبکه ژل، ضخامت ژل، تشکیل ژل و ظرفیت اتصال به آب

مراحل دردماهی ۴ درجه سانتی گراد و باهم زدن مداوم انجام شد (Remi Magnetic Stirrer, ML). جهت حذف پروتئین های غیر کلائزی قطعات پوست در محلول سود ۰/۱ مولار با نسبت ۱۰:۱ (وزنی/حجمی) غوطه ور گردید و به مدت ۲ روز در دمای ۴ درجه سانتی گراد بطرور مداوم هم زده شد. و هر ۶ ساعت یکبار محلول قلبایی تعویض گردید. در پایان پوست چندین مرتبه توسط آب مقطر سرد شستشو داده شد و pH آب شستشو توسط کاغذ تورنسل اندازه گیری شد. در مرحله بعد برای حذف چربی، پوست در محلول بوتیل الكل ۱۰ درصد با نسبت ۲۰:۱ (وزنی/حجمی) دردماهی ۴ درجه سانتی گراد و به مدت ۲ روز غوطه ور و هر ۶ ساعت محلول تعویض گردید. سپس پوست چندین مرتبه توسط آب مقطر سرد شستشو داده شد. در مرحله بعد پوست در اسید استیک ۰/۵ مولار با نسبت ۱۵:۱ (وزنی/حجمی) به مدت ۳ روز غوطه ور شد. مخلوط پوست و اسید توسط تنظیف دولایه صاف شد و مجلدا روند استخراج پوست باقیمانده تحت شرایط مشابه ادامه داده شد. سپس محلول استخراج شده به محلول حاوی کلائز از استخراج مرحله اول اضافه شد. در مرحله نهایی کلائز محلول با اضافه کردن محلول نمک ۲/۶ مولار (NaCL) رسوب داده شد. رسوب حاصل توسط سانتریفیوژ (Sigma 8k) در دمای ۱۲ درجه و دور ۱۸۰۰۰g به مدت ۳۰ دقیقه جمع آوری، سپس طی دو مرحله با اضافه کردن آب مقطر و تکرار سانتریفیوژ حذف نمک انجام و توسط خشک کن انجمادی (ALPHA 1-2 LDplus) خشک و دردماهی ۲۰ درجه سانتی گراد نگهداری شد.

۳-۲- تهیه کلائز از پوست توسط آنزیم پیسین
پوست باقیمانده از استخراج کلائز توسط اسید (ASC) (با استفاده از روشن ماتارو و همکاران (۲۰۱۱) و باکمی تغییر برای استخراج کلائز توسط پیسین مورداد استفاده قرار گرفت [۲۳]. در این مرحله باقیمانده پوست در محلول اسید استیک ۰/۵ مولار با نسبت ۱۵:۱ (وزنی/حجمی) با پیسین مخلوط معدن خنک (SIGMA/P7000, powder ≥ 250 Units/mg) به مقدار ۲ g Soild (Soild) روز در دمای ۶ درجه سانتی گراد و باهم زدن مداوم ادامه یافت و مراحل صاف کردن، رسوب دادن و سانتریفیوژ همانند روش ASC انجام شد. رسوب حاصل پس از خشک شدن توسط خشک کن انجمادی (Alpha 12 LDplus) در دمای ۲۰ درجه سانتی گراد نگهداری شد.

PSC و ASC پوست ماهی هامور غول پیکر^۱ بترتیب ۱۸۹ از هر هزار واحد ماده باقی بود. دمای دناتوراسیون کلائز در پوست این گونه ۲۹-۳۱ درجه سانتی گراد مشخص گردید. بالاترین حلایت PSC و ASC بترتیب در pH ۵-۶ مشاهده شد و کاهش شدید حلایت در غلاظت نمک بالاتر از ۳ درصد (وزنی/حجمی) اتفاق افتاد.

با توجه به مزیت های کلائز ماهی و تاثیرات/ویژگیهای منفعی زلایتین حیوانی بویژه ژلاتین استخراج شده از ضایعات احشام، به مرور زمان و در حال حاضر، کلائز آبزیان در میان مردم از مطلوبیت بیشتری برخوردار گردیده است. از سوی دیگر هزینه پایین، راندمان بالای استخراج و ویژگیهای زیست فعال کلائز حاصل از ضایعات آبزیان در مقایسه با سایر منابع ژلاتین منجر به افزایش تقاضا برای تولید کلائز از آبزیان در سطح جهان و ایران گردیده است. با توجه به منابع عظیم دریابی در ایران و نظر به اینکه ماهی هامور هم بصورت وحشی و هم بصورت پرورشی به وفور یافت و مصرف میشود و با توجه به تفاوت های ساختاری و عملکردی کلائز های استخراج شده از آبزیان مختلف و قدردان اطلاعات در مورد ویژگیهای کلائز پوست ضخیم این ماهی پرصرف و ارزشمند، استفاده از آن چهت تولید کلائز می تواند مقرر و به صرفه و اقتصادی باشد.

۲- مواد و روش ها

۲-۱- آماده سازی نمونه ها

جهت انجام این پژوهش در گام نخست ماهی هامور معمولی (Epinephelus coioides) به وزن ۳-۲ کیلوگرم از بازار بعثت (شهر تهران) خریداری شد و پوکها نیز به طور کامل از پوست و پوست آن بدقت از گوشتهای جدا شد. در مرحله بعد پوست سه مرتبه توسط آب مقطر سرد شستشو داده شد و توسط قیچی به قطعات ۰/۵×۰/۵ سانتیمتر برش و در فریزر ۲۰ درجه سانتی گراد نگهداری شد.

۲-۲- تهیه کلائز از پوست به روش اسیدی
کلائز محلول در اسید (ASC) (با استفاده از روش ناجا و سوزوکی (2000) و باکمی تغییر استخراج شد [۱۲]. تمام

(FTIR, Nicolet 8700) و سپس با استفاده از نرم افزار OPUS آنالیزهای مربوطه انجام و در نهایت طیف FTIR برای ASC و نمونه هیدرولیز شده در محدوده تقریبی cm^{-1} ۴۰۰۰ اسکن و طیف های مربوطه تهیه گردید [۱۴].

۷-۲- الکتروفورز ژل پلی اکریل آمید-SDS^۱ (PAGE)

(Sodium dodecyl sulfate polyacrylamide SDS-PAGE gel electrophoresis) بر اساس روش تکنیک انجام و همکاران (۲۰۰۰) با استفاده از دولا یه ژل ۴ و ۸ درصد انجام شد [۱۲]. مقدار ۵ میلی گرم از پودر کلائز استخراج شده در یک میلی لیتر از بافر (۰/۵ TrisHCl pH=۷/۸) مولار در ۰/۰۵ درصد، گلیسرول ۲۵ درصد و (به همراه SDS ۵ درصد، میکرو لیتر ۲- mercaptoethanol از پروتئین حل شده بر روی ژل الکتروفورز و با شدت جریان الکتریکی ۱۵۰ ولت به مدت ۴ ساعت بارگذاری گردید. رنگ آمیزی ژلها بر اساس رنگ امیری نتیرات نقره انجام شد.

۷-۳- فعالیت مهار کنندگی رادیکال DPPH

قابلیت مهار رادیکالت های آزاد توسط کلائز استخراج شده بر اساس رنگبری (Bleaching) با استفاده از معرف کاروتون به روش اسپکتروفتومتری اندازه گیری شد [۱۲]. برای این منظور یک میلی لیتر از غلظت های مختلف (۰/۰۱، ۰/۰۱، ۰/۰۰۱) کلائز و کلائز هیدرولیز شده در حلال اتانول تهیه شد سپس ۴ میلی لیتر محلول متانولی DPPH (۰/۰۰۴ درصد) به هر یک اضافه شد. نمونه ها به مدت ۳۰ دقیقه دردمای اتاق و در محلی تاریک انکوبه و در نهایت میزان جذب در طول موج ۵۱۷ نانومتر قرائت و مهار رادیکال آزاد DPPH توسط فرمول زیر محاسبه گردید.

$$\text{I\%} = \frac{A_{\text{blank}} - A_{\text{sample}}}{A_{\text{blank}}} \times 100$$

در این فرمول A_{blank} جذب کنترل و A_{sample} جذب نمونه در نظر گرفته شد. جهت قرائت جذب A_{sample} به کوott حاوی دو میلی لیتر آب مقطر محلول های نمونه با غلظت های مختلف اضافه شد. و جهت تعیین A_{blank} محلول با همان شیوه محلول نمونه تهیه و به آب مقطر اضافه گردید.

درجه سانتی گراد نگهداری شد.

۷-۴- تهیه کلائز هیدرولیز شده از کلائز

استخراج شده به روش اسیدی و کلائز

۷-۵- استخراج شده توسط پیسین

۷-۶- هیدرولیز کلائز

جهت هیدرولیز، کلائز استخراج شده با اسید (ASC) از پوست ماهی هامور معمولی محلول اسید استیک ۰/۵ مولار (۲/۰ pH) تهیه و سپس پیسین با نسبت ۲:۱ (محلول آنزیم / پوست) اضافه و پوست به مدت ۵ ساعت دردمای ۳۷ درجه سانتی گراد انکوبه شد. در انتهای زمان هیدرولیز، جهت غیرفعال سازی پیسین، محلول به مدت ۱۰ دقیقه دردمای ۹۰ درجه سانتی گراد در بن ماری نگهداری شد. سپس مخلوط با ۵۰۰ میکرو لیتر ۲- mercaptoethanol به مدت ۱۵ دقیقه دردمای ۴ درجه سانتی گراد و دور ۵۰۰ سانتی پیوژ شد. محلول حاوی کلائز هیدرولیز شده جدا و توسط خشک کن انجام داد، خشک و دردمای ۲۰ درجه سانتی گراد نگهداری شد.

۷-۷- هیدرولیز کلائز استخراج شده توسط پیسین

(PSC)

تمام مراحل هیدرولیز مانند هیدرولیز کلائز ASC انجام و درنهایت کلائز هیدرولیز شده توسط خشک کن انجام داد، خشک و دردمای ۲۰ درجه سانتی گراد نگهداری شد.

۷-۸- میکروسکوپ الکترون رویشی (SEM)

کلائز و کلائز هیدرولیز شده به مدت ۹۰ دقیقه با طلا پوشش دهی و توسط میکروسکوپ الکترونی رویشی (Scanning Electron Microscopy, Phenom prox) مشاهده و تصویربرداری انجام شد.

۷-۹- آنالیز طیف سنجی تبدیل فوریه طیف

(FTIR) مادون قرمز

به منظور مطالعه و بررسی گروههای عاملی کلائز و کلائز هیدرولیز شده از پوست ماهی هامور و آنالیز طیف مادون قرمز (Fourier-transform infrared spectroscopy) قرص های پتاسیم بر مید از کلیه نمونه های کلائز تهیه شد، بدین ترتیب که یک میلی گرم نمونه خشک با ۱۰۰ میلی گرم پتاسیم بر مید (KBR) به صورت دیسک فشرده شد و قرص های حاصله در سلول های مخصوص دستگاه قرار داده شد.

۲-۱۰- قابلیت تولید کف

پتانسیل یا قابلیت تولید کف و پایداری آن (Foam stability, Foam capacity, همکاران (2014) تعیین شد [۱۵]. مخلوطی از کلاژن (ASC) و کلاژن (۲۰۱۴) با غาصلت ۰/۱ گرم تهیه ، و دردمای هیدرولیز شده (ASC_H) با غاصلت ۰/۱ گرم تهیه ، و دردمای ۲۵±۱°C به مدت ۲ دقیقه به هم زدن با سرعت ۱۶۰۰۰×g با هوا مخلوط شد. سپس حجم کل در دقایق (۳۰، ۳۰، ۱۰۳۰) اندازه گیری و در نهایت گسترش کف بر اساس معادله زیر محاسبه شد:

$$\text{Foam expansion (\%)} = \frac{\frac{A-B}{B}}{A} \times 100$$

که در این رابطه A حجم بعد از تولید کف بر حسب (میلی لیتر) و در زمان های مختلف و B حجم قبل از تولید کف بر حسب (میلی لیتر) بوده، در ادامه پایداری کف (FS) پس از گذشت ۱۰ دقیقه اندازه گیری شد.

۳- نتایج و بحث

هر دو کلاژن استخراج شده به روش اسیدی و آنزیمی بافت سفید، نرم، اسفنجی و متخلخل را نشان داد.

بوتیل هیدروکسی تولوئن (BHT) و α-توکوفرول نیز به عنوان استاندارد مورد استفاده قرار گرفت.

۹-۲- تعیین قدرت کاهندگی (power)

قدرت کاهندگی کلاژن و کلاژن هیدرولیز شده بر اساس روش چی و همکاران (2001) اندازه گیری شد [۱۵]. بدین صورت که ابتدا محلول هایی از کلاژن با غلظت های مختلف (0.001, 0.01, 0.1 mg/ml) تهیه و سپس یک میلی لیتر از هردو محلول کلاژن و کلاژن هیدرولیز شده، با ۲/۵ میلی لیتر بافر فسفات ۰/۰ نرمال ۶ (pH=۷) ۲/۵ میلی لیتر فریسانید پتانسیم ۱ درصد مخلوط و به مدت ۳۰ دقیقه دردمای ۵۰ درجه سانتی گراد انکوبه شد. سپس ۲/۵ میلی لیتر تری کلرو استیک اسید ۱۰ درصد (وزنی/حجمی) به نمونه ها اضافه شد و نمونه ها به مدت ۱۰ دقیقه با سرعت ۳۰۰۰× سانتریفیوژ شدند (Sigma 8k). ۲/۵ میلی لیتر از محلول حاصل پس از سانتریفیوژ با دقت برداشته و ۲/۵ میلی لیتر آب مقطر و ۰/۵ میلی لیتر کلرید فریک ۰/۱ درصد (وزنی/حجمی) اضافه و در نهایت پس از ۱۰ دقیقه جاذب محلول حاصل در طول موج ۷۰۰ nm قرائت گردید.

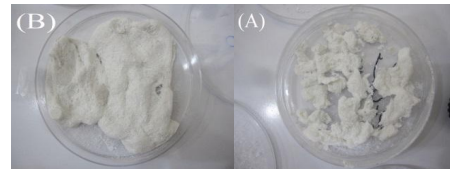


Fig 1 A: Acid soluble collagen (ASC) and B: Pepsin soluble collagen (PSC)

است. بینظر می رسد که چروکیدگی ها می توانند طی فرآیند خشک شدن انجام داده بودند [۱۳] و در نهایت بتطری می رسد در هر دو نوع کلاژن فرآیند هیدرولیز منجر به تکمیل روند شکستگی و تولید کلاژن با ساختار های با وزن مولکولی کمتر و ایجاد شبکه ای منظم و آزاد شدن شبکه های فیبریلار شده باشد. (شکل ۳)، ساختار شبکه ای منظم از ویژگی های مثبت و متمایز کلاژن های دریابی بوده ، در صنعت غذا و دارو جهت انتقال مولکول های دارویی بوده ، در صنعت غذا و دارو مغزی ها مورد توجه و استفاده وسیع و روز افزون قرار گرفته است . ساختار منظم در این کلاژن ها بستری مناسب جهت استقرار سایر ترکیبات و همچنین حفظ و یکنواختی فرآیند تغییر در مایعات می گردد.

۱-۳- میکروسکوپ الکترونی روشنی (SEM)

در تصاویر میکروسکوپ الکترونی (SEM) مربوط به کلاژن استخراج شده به دو روش اسیدی (ASC) و آنزیمی (PSC) از پوست ماهی هامور (شکل ۲) و کلاژن هیدرولیز شده به دو روش اسیدی و آنزیمی، صفحات بنا و رشه های مارپیچی کلاژن پیغوبی دیده می شود هر چند در کلاژن استخراج شده به روش آنزیمی (PSC) در مقایسه با کلاژن استخراج شده به روش اسیدی (ASC) ساختار شبکه ای و ماتریکس منظم تر با منافذ حباب مانند را نشان داد و این در حالی است که در کلاژن استخراج شده به روش اسیدی ساختار صفحه ای منظم ، مترکم، روی هم خوابیده، با سطح چروکیده قابل مشاهده

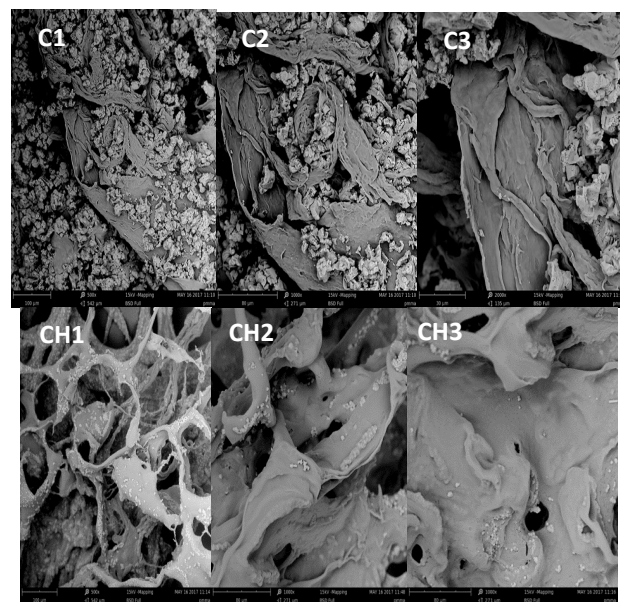


Fig 2 Scanning Electron Microscopic (SEM) images of acid soluble collagen(C) and collagen Hydrolysate (CH) extracted from the skin of *Epinephelus coioides*) with magnifications of $\times 500$ (1), $\times 1000$ (2), $\times 2000$ (3)

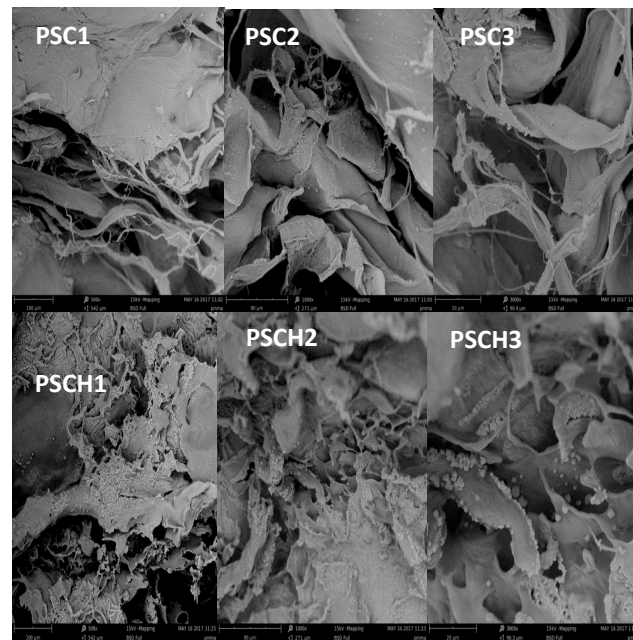


Fig 3 Scanning Electron Microscopic (SEM) images of pepsin soluble collagen(PSC) and collagen Hydrolysate (PSCH) extracted from the skin of *Epinephelus coioides*) with magnifications of $\times 500$ (1), $\times 1000$ (2), $\times 2000$ (3)

عبارتی طف شاخص در شناسایی ساختمان دوم پروتئین‌ها است و معمولاً در محدوده $1600\text{-}1700\text{ cm}^{-1}$ ظاهر می‌شود. باند آمید I مربوط به ارتعاشات کششی گروه کربوکسیل (پیوند C=O) در اطراف محور اصلی و یک شاخص و مارکر حساس و نشان‌دهنده وضعیت ساختمان دوم پلی پیتید کالازن است.^[۱۸] کالازن پوست ماهی هامور در مقایسه با کالازن دیالیز شده پوست گوساله (1663 cm^{-1}) عدد موج کمتری را در محدوده آمید I نشان داد که نشان‌دهنده هیزran پیشتر پیوند های هیدروژنی در گیر در پیوندهای آمید A می‌باشد.^[۳۰] در طیف FTIR کالازن استخراج شده از پوست ماهی هامور باند آمید II در محدوده 1537 cm^{-1} ظاهر شد و این در حالی است که کمترین عدد موج آمید II در کالازن پوست گوساله در محدوده 1545 cm^{-1} مشخص گردیده است. لذا در مقایسه کالازن پوست گوساله و ماهی هامور مشخص گردید که N-H در کالازن پوست گوساله، بیشتر در گیر باندهای α -chains پروتئین‌های مجاور بوده لذا کالازن ماهی هامور خلوص بالاتری نسبت به کالازن پوست گوساله و سایر گونه‌های ماهیان نشان می‌دهد.^[۱۹] آمید III در طیف کالازن پوست هامور در فرکانس 1243 cm^{-1} ظاهر شد. پیوندهای آمید III نشان‌دهنده ترکیب کشنش‌های ارتعاشی C-N و تغییر شکل N-H بوساطه پیوند آمیدی و همچنین تحت تاثیر جاذبه ناشی از نوسان ارتعاشات گروه CH_2 در گلابیسین، پروولین و در زنجیره اصلی کالازن با زنجیره‌های جانبی ظاهر می‌شوند.^[۱۹] بعلاوه، ضریب میزان جذب پیوندهای آمید II و III در کالازن و کالازن هیدرولیز شده پوست ماهی هامور حدود ۱ به دست آمد و نشان داده شد که ساختار فضایی مارپیچی سه‌گانه در طی فرآیند استخراج بخوبی محافظت شده است. در طیف باندهای کالازن باند آمید III آزاد نشده و به صورت ادغام با ساختار اسکلتی در طیFTIR دیده شد. بعلاوه باندهایی در محدوده $536\text{-}590\text{ cm}^{-1}$ نیز نشان داده شد که مربوط به کشنش‌های اسکلتی گروه‌های غیرعاملی است. همچنین برای هر دو نوع کالازن (ASC, PSC) از پوست اسپیانیش ماکرل آمید B در محدوده 3081 cm^{-1} و 2926 cm^{-1} در حالی که در مطالعه انجام شده روی کالازن هیدرولیز شده از پوست ماهی هامور فقط یک طیف قوی در محدوده 2900 cm^{-1} و در ساختار کالازن، آمید B به صورت یک پیک ضعیف در محدوده 1652 cm^{-1} مشاهده شد که نشان‌دهنده پیوند‌های پیوندهای آمید I و به

در تحقیقی که توسط لی و همکاران (2007) در مورد پوست گربه ماهی انجام شد مشخص شد که پوست این ماهی بعد از خشک‌کردن انجام‌دهنده مانند پوست ماهی هامور ساختار شبکه‌ای منظمی را نشان می‌دهد.^[۱۶] همچنین در تحقیقی دیگر چی و همکاران (2014) دریافتند که کالازن بدست آمده به روش ASC از پوست ماهی اسپیانیش ماکرل نیز مانند پوست ماهی هامور ساختاری ورقای و یکپارچه اما با ورقه‌ای قطور و سنگین با طول حدود ۱۰۰ میکرون (دو برابر طول صفحات بنا در اسپیانیش ماکرل) نشان داده، همچنین پس از هیدرولیز توسط پیسین، کالازن هیدرولیز شده حاصل از پوست و استخوان اسپیانیش ماکرل به قطعات کوچکتر تبدیل و بدنبال تبخر مایع، یافته سست، نرم و مانند کالازن هیدرولیز شده PSC حاصل از پوست ماهی هامور ساختار حفره‌ای، یک شکل منظم با قطر نازک تر صفحات بنا با طول حدود ۲۵ میکرون نشان داده است، همچنین، اندازه نماند در بافت اسفنجی کالازن با افزایش مقدار آب طی اماده‌سازی افزایش نشان داد.^[۱۵]

۲-۳ مقایسه FTIR در کالازن و کالازن

هیدرولیز شده از پوست ماهی هامور

همان‌طور که در شکل ۴ مشاهده می‌شود در طیف‌های FTIR مر بوط به کالازن و کالازن هیدرولیز شده باند شاخص پیوندهای آمیدی A که نشان‌دهنده ارتعاشات کشنشی پیوند‌های آزاد N-H آمینواسیدها در ساختار پلی پیتیدی کالازن است در فرکانس 3219 cm^{-1} ظاهر شد. همچنین تعداد کثیری از گروه‌های N-H در کالازن و کالازن هیدرولیز شده حاصل از پوست ماهی هامور، در گیر پیوند‌های هیدرولیزی نهستند، زیرا بر اساس گزارش دولین (1975) ارتعاش کشنشی پیوند‌های آزاد N-H معمولاً در محدوده $3400\text{-}3440\text{ cm}^{-1}$ ظاهر می‌شود.^[۱۷] و هرچه گروه‌های NH بیشتری در پیتید در گیر باندهای هیدرولیزی شوند به فرکانس FTIR کالازن استخراج شده با اسید (ASC) از پوست ماهی هامور یک پیک ضعیف و ادغام شده در پیک آمید A در فرکانس 3000 cm^{-1} قابل تشخیص است که نشان‌دهنده پیوند‌های آمیدی B و کشنش‌های نامتقارن در اطراف زنجیره CH_2 است. در طی FTIR کالازن پیک سوم در ناحیه 1652 cm^{-1} مشاهده شد که نشان‌دهنده پیوند‌های پیوندهای آمید I و به

از هیدرولیز تمام پیوندها و گروه های آمیدی در دیاگرام ظاهر شدند.

۳۱۰۰ ظاهر شد. در مجموع برخلاف کلائز استخراج شده از سایر ماهیان، در طیف FTIR گروه ها و پیوندهای آمیدی کلائز ماهی هامور پیک های شاخصی نشان نداده و تنها پس

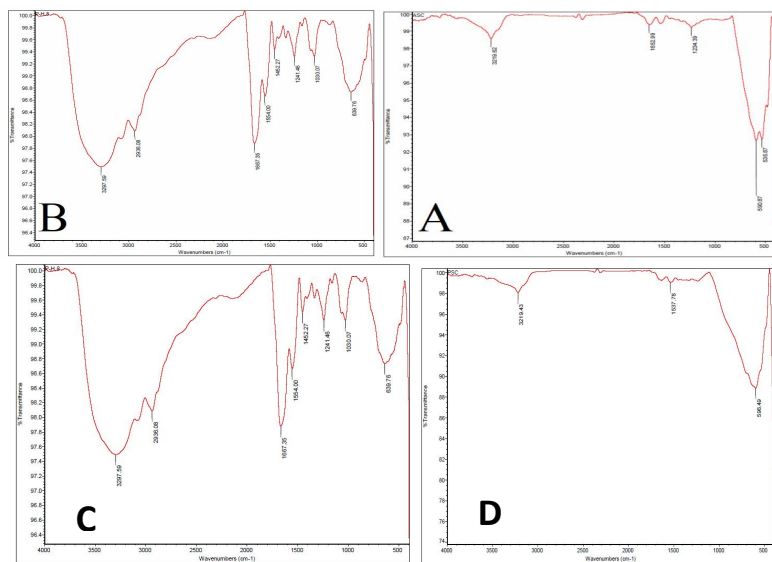


Fig 4 Fourier transform infrared spectroscopy (FTIR) spectra of acid soluble A) collagen and B) acid soluble Collagen Hydrolysate, and (FTIR) spectra of pepsine soluble C) collagen and D) pepsine soluble Collagen Hydrolysate.

زنجبیره را به دوزنچیره α_1 تبدیل می‌کند، در نتیجه در H ترکیبیاتی با وزن مولکولی بالا عملاً وجود ندارد [۲۱-۲۲]. در کلازن، اتصالات عرضی با وزن مولکولی بالا با افزایش سن جانور افزایش پیدا می‌کند [۲۳] و این اتصالات عرضی در ماهی‌های گرسنه بیشتر از ماهی‌هایی با تغذیه مناسب است. در مطالعه‌ای که Jeong و همکاران (2013) روی الگوی کلروفورز کلازن ASC و PSC استخوان ماهی تن زرد باله (*Thunnus obesus*) انجام دادند دوزنچیره متفاوت α_1 و α_2 ، اتصالات عرضی بنا و لا را در هردو نوع کلازن مشاهده کردند؛ که اتصالات عرضی درون و بین مولکولی و قطعات لا در کلازن ASC بیشتر از کلازن PSC بود. علاوه بر این، در پوست ماهی هامور کلازن ASC متفاوت با کلازن PSC یک باند مشخص α_3 با وزن مولکولی ۱۲۰۰ کیلو دالتون بین زنجبیره‌های α_1 و α_2 به دست نشان داد [۲۴].

(SDS-امید اکریل پلی فوروفکتروکتری) ۳-۴

الگوی الکتروفورز ژل پلی اکریل امید (PAGE) روش استخراج کلازن به کار برده است. مربوط به این استخراج مروج است که از پوست ماهی هامور و آسیدی (ASC) و آنزیمی (PSC) از نمونه های هیدرولیز شده آنها (ASC_H, PSC_H) در شکل ۵ دارای دوز نجیره PSC و ASC نشان داده شده است.

ا) (a₁, a₂) با وزن مولکولی حدود ۱۱۵-۱۲۵ کیلو دالتون و اجزایی با وزن مولکولی بالا از جمله β است. همچنین ضخامت باند نجیره های a₂ تقریباً دو برابر نجیره های a₁ بود. در این تحقیق اگرچه تفاوتی بین الگوهای PSC و ASC مشاهده نشد اما در نمونه کترکوفورزی pH حدود ۷ پس از فرایند هیدرولیز توسط پیپین در PSC_H و دمای ۳۷ درجه سانتی گراد به مدت ۵ ساعت، بالدهای نجیره β و ترکیباتی با وزن مولکولی بالا کاملاً تا پایدید شدند زیرا پیپین اتصالات عرضی تلویپتید را تفکیک و هم زمان

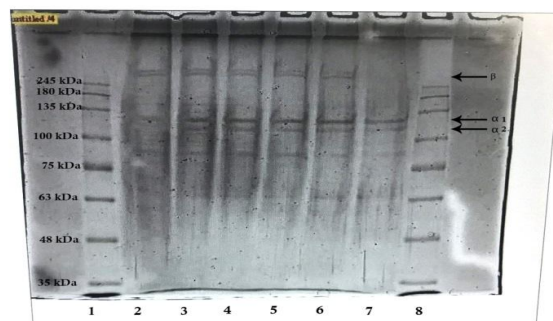


Fig 5 SDS-PAGE of extracted collagen from the skin of *epinephelus coicoides*. Lane 1 & 8: High molecular weight/protein markers; Lane 2: ASC; Lane3: PSC; Lane4, 5: ASC Hydrolysate; Lane 6, 7: PSC Hydrolysate.

هامور در مقایسه با کالاژن استخراج شده به روش اسیدی پتانسیل و قدرت احیا کنندگی بالاتری نشان داد. همچنین نتایج این تحقیق نشان داد که قدرت احیا کنندگی در پروتئین هیدرولیز شده پوست ماهی هامور (ASC_H) (شکل ۶A) در مقایسه با کالاژن ۵۰٪ بیشتر است (شکل ۶A).

۳-۴- قدرت کاهنده (Reducing power)

در این تحقیق مشخص گردید که کالاژن ASC و کالاژن هیدرولیز شده و استخراج شده از پوست ماهی هامور، حاوی مولکول های اهدافنده الکترون بوده و توانایی مهار رادیکال های آزاد را دارند و نمونه هیدرولیز شده پوست ماهی

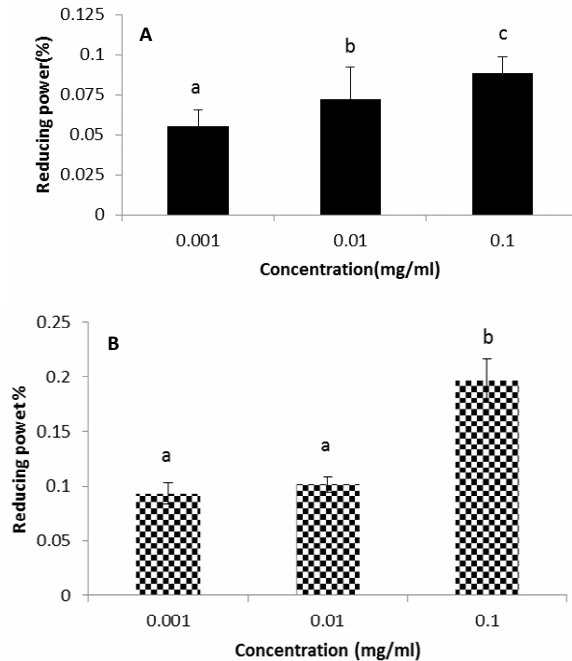


Fig 6 Reducing powers of collagen hydrolysate (A) and reducing powers of acid soluble collagen (B), exated from the skin of *Epinephelus coicoides* at different concentrations.

قابلیت بیشتری در مهار ر دارد. ادیکال های آزاد دارد. علاوه بر این، پروتئین هیدرولیز شده شامل پیتیدهای اهاکتنده الکترون بوده که می توانند با رادیکال واکنش داده و ترکیبات پایداری تولید کنند و منجر به ختم واکنش های زنجیره ای رادیکال شود. در تحقیقی که توسط کیم و همکاران (۲۰۱۱) بر روی پروتئین هیدرولیز شده ماهی حلواز زرد (yellowfin sole) (و عضله ماهی پستان پرج (Pinck pearch) انجام شد دریافتند که نمونه های هیدرولیز شده توسط پیسین قدرت مهار کنندگی بیشتری بر روی رادیکال DPPH نسبت به سایر هیدرولیزها دارند [۲۵-۲۷]. همچنین با توجه به اینکه قابلیت جذب پایین تر نشان دهنده مهار بیشتر رادیکال های آزاد است، میزان بازدارندگی رادیکال DPPH در دو نمونه کلاژن (ASC) و کلاژن هیدرولیز شده (ASC_H) پوست ماهی هامور. با افزایش غلظت، افزایش نشان داد، به طوری که نمونه با غلظت ۰/۱ (میلی گرم بر میلی لتر) کمترین میزان جذب و بالاترین قدرت مهار رادیکال آزاد DPPH و لذا بالاترین خاصیت آنتی اکسیدانی را نشان داد.

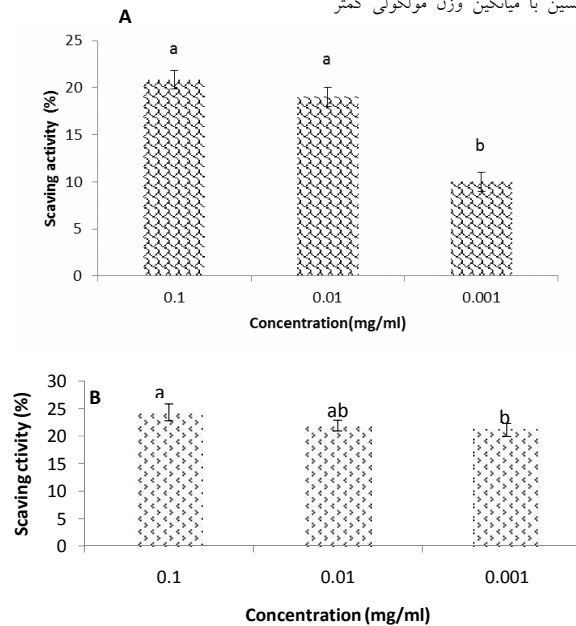


Fig 7 DPPH Scavenging Activity of collagen hydrolysate (A) and the Scavenging Activity of acid soluble collagen (B) extracted from the skin of *epinephelus coioides*.

که این امر می تواند ناشی از وجود حضور پروتئین های با وزن مولکولی کمتر زنجیره های کوتاه تر و پیتیدهای زیست فعال بیشتر بوده، این مولکولها قادرند به عنوان اهاکتنده هیدرولیز (الکتون) عمل نموده؛ با رادیکال های آزاد واکنش و آنها را به محصولات پایدارتری تبدیل کنند، درنتیجه باعث قطع واکنش زنجیره ای رادیکالی می شوند. در ارزیابی قدرت مربوط به کلاژن استخراج شده به روش آسیدی (ASC) و کلاژن هیدرولیز شده (ASC_H) از پوست ماهی هامور با غلظت های (۰/۰۱، ۰/۰۱، ۰/۰۰۱) (شکل ۶)، بیشترین قدرت کاهنگی در هر دو نمونه در غلظت ۱/۰ مشاهده شد. و مشخص گردید که با افزایش غلظت در هر دو نمونه ASC و ASC_H قدرت کاهنگی افزایش میابد. پاره ای تحقیقات نیز نشان داده است یک رابطه معمکس بین وزن مولکولی، فعالیت های آنتی اکسیدانی و قدرت احیا کنندگی وجود دارد [۲۵].

۵-۳- فعالیت مهار رادیکال DPPH

نتایج آزمون مهار رادیکال های آزاد DPPH نشان داد نمونه هیدرولیز شده توسط پیسین با میانگین وزن مولکولی کمتر

داده شده است. در این آزمایش خواص کف در پروتئین و نمونه کلارن هیدرولیز شده با اندازه گیری حجم پس از اختلاط در زمان‌های مختلف مورد بررسی قرار گرفت و توان تولید کف و پایداری آن در زمان صفر و در طول ۱۰ دقیقه تعیین شد. در نهایت مشخص گردید که پروتئین هیدرولیز شده قابلیت تولید کف ندارد. اما کلارن پتدریج با گذشت از زمان صفر در زمان ۳ دقیقه، بیشترین قابلیت گسترش کف را نشان داد و پایداری و قابلیت گسترش کف به تدریج پس از گذشت ۳ دقیقه کاهش نشان داد. لی و همکاران (۲۰۱۴) دریافتند که نمونه‌ها و پروتئین‌های با میانگین وزن مولکولی بالا باعث افزایش پتانسیل تولید کف می‌شوند. همچنین نشان دادند که ظرفیت و پایداری کف ارتباط مستقیمی با لگاریتم میانگین وزن مولکولی در زمان‌های مختلف دارد [۳۲]. نتایج تحقیقات بر روی پتانسیل تولید کف توسط کلارن ماهی کفشک زرد و پروتئین‌های ماهیچه پینک پرج نشان داد که pH به طور قابل توجهی بر پایداری کف تأثیر می‌گذارد و نیز پتانسیل تولید کف در ماهی پینک پرج با کاهش حلالیت در نقطه ایزو الکتریک، کاهش نشان داد [۳۳] و [۳۴].

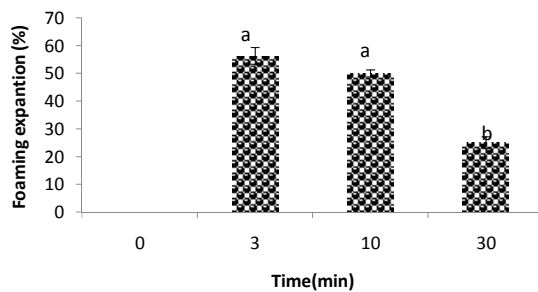


Fig 8 Foam extension of Acid soluble collagen (ASC)

میزان در کلارن هیدرولیز شده نشان داد و در نهایت ساختار مارپیچ سه گانه را به اثبات رساند. همچنین بررسی الگوی الکتروفورزی نیز وجود دوزنجبهه a(a1,a2)a و زنجیره β را هر سه نمونه کلارن تائید کرد اما در PSC_{H2O} زنجیره β و ترکیباتی با وزن مولکولی بالا ناپدید شدند. علاوه بر این نمونه‌هایی با وزن مولکولی کمتر قدرت احیاء کنندگی بیشتری را به نمایش گذاشتند. نتایج بدست آمده از پژوهش حاضر مشخص نمود که خاصیت بازدارنگی رادیکال DPPH با افزایش غلظت در کلارن و کلارن هیدرولیز شده افزایش یافته

۵-۳- پتانسیل (ظرفیت) تولید کف

تشکیل کف توسط سه فاکتور عبور، نفوذ و بازآرایی مولکول‌ها در سطح مشترک آب و هوای کنترل می‌شود. برای تشکیل کف، مولکول‌های پروتئین باید به سرعت بین سطح مشترک آب و هوای مهاجرت کرده و بازآرایی شوند [۲۸]. در نقطه ایزو الکتریک هم‌زمان با کاهش حلالیت ویژگیها و پایداری کف نیز کاهش پیدا می‌کند [۲۹]. پروتئین‌هایی که وزن مولکولی بالایی دارند، دارای پلی پپیدهای بزرگی هستند که با افزایش ثبات فیلم هنگام تولید حباب‌های هوای پایداری کف را افزایش می‌دهن. کاهش ثبات کف زمانی رخ می‌دهد که پپیدهای میکروسکوبی دیگر توانایی حفاظت از پایداری کف را ناشته باشند [۳۰]. همچنین پایداری کف با افزایش دامنه انعطاف پروتئین، ویسکوزیته در فاز آبی، غلظت پروتئین و ضخامت فیلم افزایش پیدا می‌کند [۳۱]. pH نیز به طور قابل ملاحظه‌ای بر خواص کف و بوزن پاییزه پایداری آن تأثیر می‌گذارد [۳۲]. ظرفیت تولید کف مربوط به کلارن استخراج شده به روش اسیدی (ASC) از پوست ماهی هامور در زمان‌های (۰,۱۰,۳۰ دقیقه و با غلظت ۰/۱) در شکل ۸ نشان

۴- نتیجه گیری

در تحقیق حاضر خواص انتی اکسیدانی و عملکردی کلارن استخراج شده از پوست ماهی هامور به دو روش اسیدی و آنزیمی و نمونه‌های هیدرولیز شده آن‌ها موردن بررسی قرار گرفت. تصاویر میکروسکوب الکترونی حضور فیبرهای کلارن در هر چهار نمونه را تائید کرد. نتایج طیف‌سنجی تبدیل فوریه مادون‌قرمز حضور گروه‌های عاملی و پیوند‌های آمید های A و B ، امیدهای I,II,III را در کلارن و بالاترین تنوع و

- research international. 2003 Jan 1;36(9-10):949-57.
- [9] Vázquez JA, Sotelo CG, Sanz N, Pérez-Martín RI, Rodríguez-Amado I, Valcarcel J. Valorization of aquaculture by-products of salmonids to produce enzymatic hydrolysates: Process optimization, chemical characterization and evaluation of bioactives. *Marine drugs*. 2019 Dec;17(12):676.
- [10] Wang L, Liang Q, Chen T, Wang Z, Xu J, Ma H. Characterization of collagen from the skin of Amur sturgeon (*Acipenser schrenckii*). *Food Hydrocolloids*. 2014 Jul 1;38:104-9.
- [11] Lin CC, Chiou TK, Sung WC. Characteristics of gelatin from giant grouper (*Epinephelus lanceolatus*) skin. *International Journal of Food Properties*. 2015 Nov 2;18(11):2339-48.
- [12] Najafian L, Babji AS. A review of fish-derived antioxidant and antimicrobial peptides: their production, assessment, and applications. *Peptides*. 2012 Jan 1;33(1):178-85.
- [13] Matmaroh K, Benjakul S, Prodpran T, Encarnacion AB, Kishimura H. Characteristics of acid soluble collagen and pepsin soluble collagen from scale of spotted golden goatfish (*Parupeneus heptacanthus*). *Food chemistry*. 2011 Dec 1;129(3):1179-86.
- [14] Kong J, YU S. Fourier transform infrared spectroscopic analysis of protein secondary structure. *Acta biochimica et biophysica sinica*, 2007; 39(8): 549-559.
- [15] Chi CF, Cao ZH, Wang B, Hu FY, Li ZR, Zhang B. Antioxidant and functional properties of collagen hydrolysates from Spanish mackerel skin as influenced by average molecular weight. *Molecules*. 2014 Aug;19(8):11211-30.
- [16] Liu H, Li D, Guo S. Studies on collagen from the skin of channel catfish (*Ictalurus punctatus*). *Food Chemistry*. 2007 Jan 1;101(2):621-5.
- [17] Doyle BB, Bendit EG, Blout ER. Infrared spectroscopy of collagen and collagen-like polypeptides. *Biopolymers: Original Research on Biomolecules*. 1975 May;14(5):937-57.
- [18] Bandekar J. Amide modes and protein conformation. *Biochimica et Biophysica Acta (BBA)-Protein Structure and Molecular Enzymology*. 1992 Apr 8;1120(2):123-43.
- [19] Payne KJ, Veis A. Fourier transform IR spectroscopy of collagen and gelatin

است. و لذا با توجه به راندمان بالای استخراج کلارن، کلارن هیدرولیز و استخراج شده از پوست ماهی آمور (حدود ۷۰٪ وزن پوست) با خواص آنتی اکسیدانی مطلوب، و ویژگیهای عملکردی مناسب متواند در مقیاس انبوه تولید و به عنوان یک ترکیب زیست فعال در غذی سازی فرآورده های لبنی [۳۵] انواع نوشیدنی ها از جمله پودر نوشیدنی های آماده برای مصرف از جمله چای [۳۶] و امولسیفایر در صنعت غذا [۳] مورد استفاده قرار گیرد.

۵- منابع

- [1] Shahidi F, editor. Maximising the value of marine by-products. Woodhead Publishing; 2006 Nov 30. [2] Aberoumand A. Comparative study between different methods of collagen extraction from fish and its properties. *World Applied Sciences Journal*. 2012;16(3):316-9. [3] Zhang Z, Li G, Shi BI. Physicochemical properties of collagen, gelatin and collagen hydrolysate derived from bovine limed split wastes. *Journal-society of leather technologists and chemists*. 2006 Jan 1;90(1):23. [4] Shahidi F. Seafood processing by-products. *InSeafoods: chemistry, processing technology and quality* 1994 (pp. 320-334). Springer, Boston, MA. [5] Devita L, Nurilmala M, Lioe HN, Suhartono MT. Chemical and Antioxidant Characteristics of Skin-Derived Collagen Obtained by Acid-Enzymatic Hydrolysis of Bigeye Tuna (*Thunnus obesus*). *Marine Drugs*. 2021 Apr;19(4):222. [6] Gao R, Yu Q, Shen Y, Chu Q, Ge C, Fen S, Yang M, Yuan L, McClements DJ, Sun Q. Production, bioactive properties, and potential applications of fish protein hydrolysates: Developments and challenges. *Trends in Food Science & Technology*. 2021 Feb 24. [7] Gómez-Guillén MC, Giménez B, López-Caballero MA, Montero MP. Functional and bioactive properties of collagen and gelatin from alternative sources: A review. *Food hydrocolloids*. 2011 Dec 1;25(8):1813-27. [8] Wu HC, Chen HM, Shiao CY. Free amino acids and peptides as related to antioxidant properties in protein hydrolysates of mackerel (*Scomber austriasicus*). *Food*

- [28] Damodaran S. Protein-stabilized foams and emulsions. In *Food proteins and their applications* 2017 Oct 19 (pp. 57-110). CRC Press.
- [29] Townsend AA, Nakai S. Relationships between hydrophobicity and foaming characteristics of food proteins. *Journal of Food Science*. 1983 Mar;48(2):588-94.
- [30] Souissi N, Bougatef A, Triki-Ellouz Y, Nasri M. Biochemical and functional properties of sardinella (*Sardinella aurita*) by-product hydrolysates. *Food technology and Biotechnology*. 2007 Jun 4;45(2):187-94.
- [31] Imeson AP. Thickening and gelling agents for food. Springer Science & Business Media; 2012 Dec 6.
- [32] Li Z, Wang B, Chi C, Gong Y, Luo H, Ding G. Influence of average molecular weight on antioxidant and functional properties of cartilage collagen hydrolysates from *Sphyrna lewini*, *Dasyatis akajei* and *Raja porosa*. *Food Research International*. 2013 Apr 1;51(1):283-93.
- [33] Naqash SY, Nazeer RA. Antioxidant and functional properties of protein hydrolysates from pink perch (*Nemipterus japonicus*) muscle. *Journal of Food Science and Technology*. 2013 Oct;50(5):972-8.
- [34] Gao R, Yu Q, Shen Y, Chu Q, Ge C, Fen S, Yang M, Yuan L, McClements DJ, Sun Q. Production, bioactive properties, and potential applications of fish protein hydrolysates: Developments and challenges. *Trends in Food Science & Technology*. 2021 Feb 24.
- [35] Lima KO, da Rocha M, Alemán A, López-Caballero ME, Tovar CA, Gómez-Guillén MC, Montero P, Prentice C. Yogurt Fortification by the Addition of Microencapsulated Stripped Weakfish (*Cynoscion guatucupa*) Protein Hydrolysate. *Antioxidants*. 2021 Oct;10(10):1567.
- [36] Sae-leaw T, Aluko RE, Chantakun K, Benjakul S. Physicochemical, Antioxidant and Sensory Properties of Ready-to-drink Chrysanthemum Tea Fortified with Hydrolyzed Collagen from Salmon Scale Ossein. *Journal of Aquatic Food Product Technology*. 2021 Oct 21;30(9):1159-72.
- solutions: deconvolution of the amide I band for conformational studies. *Biopolymers: Original Research on Biomolecules*. 1988 Nov;27(11):1749-60.
- [20] Jackson M, Watson PH, Halliday WC, Mantzsch HH. Beware of connective tissue proteins: assignment and implications of collagen absorptions in infrared spectra of human tissues. *Biochimica et Biophysica Acta (BBA)-Molecular Basis of Disease*. 1995 Jan 25;1270(1):1-6.
- [21] Cao H, Shi FX, Xu F, Yu JS. Molecular structure and physicochemical properties of pepsin-solubilized type II collagen from the chick sternal cartilage. *Eur. Rev. Med. Pharmacol. Sci.* 2013 Jun 1;17:1427-37.
- [22] Guzzi Plepis AM, Goisis G, Das-Gupta DK. Dielectric and pyroelectric characterization of anionic and native collagen. *Polymer Engineering & Science*. 1996 Dec;36(24):2932-8.
- [23] Matsui R, Ishida M, Kimura S. Characterization of an α 3 chain from the skin type I collagen of chum salmon (*Oncorhynchus keta*). Comparative Biochemistry and Physiology Part B: Comparative Biochemistry. 1991 Jan 1;99(1):171-4.
- [24] Jeong HS, Venkatesan J, Kim SK. Isolation and characterization of collagen from marine fish (*Thunnus obesus*). *Biotechnology and bioprocess engineering*. 2013 Nov 1;18(6):1185-91.
- [25] Kim JS, Kim JG, Cho SY, Ha JH, Lee EH. Characteristics of the yellowfin sole and Dover sole skins as processing material of gelatin. *Applied Biological Chemistry*. 1993;36(4):290-5.
- [26] Sato K, Ebihara T, Adachi E, Kawashima S, Hattori S, Irie S. Possible involvement of aminotelopeptide in self-assembly and thermal stability of collagen I as revealed by its removal with proteases. *Journal of Biological Chemistry*. 2000 Aug 18;275(33):25870-5.
- [27] Wang Q, Li W, He Y, Ren D, Kow F, Song L, Yu X. Novel antioxidative peptides from the protein hydrolysate of oysters (*Crassostrea talienwhanensis*). *Food Chemistry*. 2014 Feb 15;145:991-6.



Antioxidant and functional properties of collagen and collagen hydrolysate from orange-spotted grouper (*Epinephelus coioides*) skin

Mousavi Nadushan, R.^{1*}, Askari, F.²

1. Associate Professor, Department of food science and technology, North Tehran Branch, Islamic Azad University, Tehran, Iran.

2. MSc., Department of food science and technology, North Tehran Branch, Islamic Azad University, Tehran, Iran.

ARTICLE INFO

Article History:

Received 2020/ 05/ 04

Accepted 2022/ 02/ 24

ABSTRACT

Collagen is the most abundant protein of animal origin and the most important compound in the connective tissue which is widely used in the food and beverage industry. In addition, recent research has demonstrated the functional, beneficial, and potential properties of collagen extracted from aquatic wastes as nutraceuticals and for delivery systems of sensitive bioactive compounds. Therefore, the aim of this research was considered to study the structural characters, antioxidant and functional properties of collagen and collagen hydrolysate extracted from the skin of common grouper (*Epinephelus coioides*). In the present experimental study, the collagen sample was extracted by acid and enzymatic method and structural characters were studied by Fourier-transform infrared (FTIR) spectroscopy, Scanning Electron Microscope (SEM) and polyacrylamide gel electrophoresis (SDS-PAGE). DPPH radical scavenging, reducing Power and foam producing capacity also assessed. The results of Scanning Electron Microscope confirmed schistose structure, filamentous network, secondary and third structure, and the good interconnection and uniform porous matrix was noticed. The typical characters for type I collagen, including five peaks (amide A, amide B, amide I, amide II and amide III) are observed in the spectrogram of collagen and collagen hydrolysate, also the preserved triple-helical structure were confirmed. The results of the functional properties and antioxidant activity of collagen from orange-spotted grouper skin also showed that with increasing the concentration, reducing power and DPPH radical scavenging ability increased. Comparing collagen and hydrolyzed sample, the foam producing capacity was proved just for collagen. Finally, it can be said that collagen and hydrolyzed collagen extracted from the skin of orange-spotted grouper with suitable antioxidant properties, and appropriate functional properties can be mass-produced as a bioactive compound and as emulsifier may be used in the food industry and in the production of Functional foods.

Keywords:

Collagen,
skin,
Epinephelus coioides,
Antioxidant properties,
functional properties,
Collagen Hydrolysate.

DOI: 10.22034/FSCT.19.126.387
DOR: 20.1001.1.20088787.1401.19.126.2.3

*Corresponding Author E-Mail:
mousavi.nadushan@gmail.com